

ТОПОЛОГИЧЕСКИЕ КВАНТОВЫЕ ХАРАКТЕРИСТИКИ, НАБЛЮДАЕМЫЕ ПРИ ИССЛЕДОВАНИИ ПРОВОДИМОСТИ В НОРМАЛЬНЫХ МЕТАЛЛАХ

С.П.Новиков¹⁾, А.Я.Мальцев

Институт теоретической физики им. Л.Д.Ландау РАН
117940 Москва, Россия

Поступила в редакцию 17 апреля 1996 г.

Показано, что исследование проводимости в монокристалле нормального металла со сложной ферми-поверхностью в сильных магнитных полях \mathbf{B} может обнаруживать целочисленные топологические характеристики, обусловленные топологией незамкнутых квазиклассических электронных траекторий. А именно, в случае незамкнутых траекторий общего положения всегда существует направление η , ортогональное к \mathbf{B} , проводимость вдоль которого стремится к нулю при больших B , причем это направление лежит в некоторой целочисленной (то есть порожденной двумя векторами обратной решетки) плоскости, неподвижной при малых вариациях направления \mathbf{B} .

PACS: 02.40.Vh, 72.15.Gd

В данной работе описываются топологические эффекты, возникающие при изучении тензора проводимости нормальных металлов в сильных магнитных полях. При этом предполагается, что проводимость хорошо описывается в рамках квазиклассического приближения для одноэлектронной задачи с некоторым законом дисперсии $\epsilon(\mathbf{p})$, периодичном в пространстве квазиимпульсов с периодами, равными векторам обратной решетки. Единственная память о квантовой механике в теории состоит в переходе от евклидова пространства импульсов $\mathcal{E} = R^3$ к первой зоне Бриллюэна B , являющейся трехмерным тором T^3 , связанным с обратной решеткой, а также в виде функции $\epsilon(\mathbf{p})$. В этом приближении электроны обладают квазиклассическими траекториями, которые, как функции времени t , являются решениями системы

$$\frac{d\mathbf{x}}{dt} = \nabla\epsilon(\mathbf{p}), \quad \frac{d\mathbf{p}}{dt} = \frac{e}{c} [\nabla\epsilon(\mathbf{p}) \times \mathbf{B}]. \quad (1)$$

Система (1) является гамильтоновой с гамильтонианом $H(\mathbf{x}, \mathbf{p}) = \epsilon(\mathbf{p})$ и скобками Пуассона: $\{x_i, x_j\} = 0, \{x_i, p_j\} = \delta_{ij}, \{p_i, p_j\} = eB_{ij}/c$ ($i = 1, 2, 3$), где $B_{ij} = -B_{ji}, B_{23} = B_1, B_{31} = B_2$ и т.д. Траектории системы (1) в импульсном пространстве даются пересечением поверхностей постоянной энергии $\epsilon(\mathbf{p}) = \text{const}$ с плоскостями, перпендикулярными магнитному полю:

$$\mathbf{pV} = p_j B_j = \text{const}. \quad (2)$$

Описанная выше теория хорошо работает вплоть до сравнительно больших значений магнитного поля B , которые мы и будем рассматривать. Для сравнения укажем, что верхнее ограничение на величину магнитного поля есть

¹⁾Institute for Physical Science and Technology, University of Maryland, College Park, Maryland 20742-2431; novikov@ipst.umd.edu, e-mail: novikov@landau.ac.ru

условие применимости квазиклассики $\omega_B \ll \epsilon_F$, в то время как эффекты, обусловленные топологией траекторий, начинают проявляться при $\omega_B > \tau^{-1}$, где τ – время свободного пробега электронов (см. [1–3]).

Несмотря на аналитическую интегрируемость в расширенной зоне Бриллюэна \mathcal{E} , в случае сложных ферми-поверхностей существуют возможности для нетривиальных топологических эффектов. В этом случае могут существовать открытые траектории, определяемые как незамкнутые в \mathcal{E} . Если такая траектория замкнута в \mathcal{B} , будем называть ее открытой периодической.

Известно, что если все траектории системы (1) замкнуты, то электрическая проводимость в плоскости Π , перпендикулярной магнитному полю \mathbf{B} , стремится к нулю по мере того, как $B \rightarrow \infty$. Существование незамкнутых траекторий приводит к тому, что в тензоре проводимости $\sigma_{\alpha\beta}$ ($\alpha, \beta = 1, 2$) в плоскости Π могут появляться неисчезающие при $B \rightarrow \infty$ члены. Если при этом все такие траектории лежат в полосах конечной ширины, имеющих (во всех плоскостях, ортогональных \mathbf{B} и на всех энергетических уровнях, на которых имеются открытые траектории) одно общее направление $\vec{\eta}(\mathbf{B})$, то тензор $\sigma_{\alpha\beta}$ имеет при $B \rightarrow \infty$ очень простую структуру, а именно: $j_{\vec{\eta}} = 0$, $j_{\zeta} = \sigma_{\zeta} E_{\zeta}$; здесь \mathbf{j} – ток в плоскости Π , \mathbf{E} – электрическое поле, ζ – направление, перпендикулярное $\vec{\eta}$ в плоскости Π , то есть $\sigma_{\alpha\beta}$ – вырожденный тензор с ядром $\vec{\eta}(\mathbf{B})$. Все эти результаты естественным образом вытекают из вкладов отдельных траекторий, описанных в [1–3]. Более подробный материал может быть найден в [4] (как указал авторам В.Г.Песчанский, в этой книге присутствуют экспериментальные наблюдения, связанные с результатами данной работы).

Основной результат данной работы состоит в том, что если для поля \mathbf{B} иррационального направления (то есть такого, что плоскость Π не содержит векторов обратной решетки) имеются открытые траектории, то обязательно имеет место описанная выше ситуация, и, таким образом, вышеописанный вид тензора проводимости при $B \rightarrow \infty$, если он не обращается в нуль, является единственно возможным. Кроме того, в этом случае можно утверждать, что незамкнутые траектории существуют и обладают теми же свойствами и для магнитных полей с направлениями, лежащими в некоторой открытой окрестности исходного иррационального направления (на единичной сфере), причем каждый раз описанное выше направление $\vec{\eta}(\mathbf{B})$ задается пересечением $\Pi(\mathbf{B})$ с некоторой целочисленной (то есть порожденной двумя векторами обратной решетки) плоскостью $\Gamma(\mathbf{B}_0)$, неизменной для данной окрестности.

Сформулированное выше утверждение описывает наиболее общую ситуацию, то есть случай магнитных полей общего положения. При этом наблюдаемые экспериментально зоны устойчивости и соответствующие им целочисленные плоскости $\Gamma(\mathbf{B}_0)$ являются нетривиальными топологическими характеристиками металла со сложной ферми-поверхностью. В случае, если магнитное поле таково, что плоскость $\Pi(\mathbf{B})$ содержит векторы обратной решетки, утверждение о том, что каждая открытая траектория лежит в полосе конечной ширины и проходит ее насквозь, остается в силе. Однако кроме описанных выше траекторий "общего положения" могут возникать открытые траектории с асимптотическими направлениями вдоль векторов обратной решетки $\vec{\eta}_{\alpha}$, содержащихся в $\Pi(\mathbf{B})$. Каждое семейство таких траекторий дает неисчезающий при $B \rightarrow \infty$ вклад в $\sigma_{\alpha\beta}$, идентичный описанному выше с той только разницей, что теперь вместо $\vec{\eta}, \zeta$ и σ_{ζ} присутствуют соответственно $\vec{\eta}_{\alpha}, \zeta_{\alpha}$ и $\sigma_{\zeta_{\alpha}}$. Количество целочисленных направлений в металле, для которых наблюдается

такая ситуация, не превосходит рода ферми-поверхности g^2), поэтому направление магнитного поля должно быть специально подобрано так, чтобы можно было наблюдать такие вклады в тензор проводимости. Эти вклады легко выделить экспериментально, поскольку соответствующие открытые траектории остаются лишь для вариаций \mathbf{B} , перпендикулярных соответствующему \vec{n}_α , и исчезают при всех остальных вариациях, что вызывает скачок в тензоре $\sigma_{\alpha\beta}$. Из топологического рассмотрения также вытекает, что если вместе с такими траекториями при данном направлении магнитного поля существуют и описанные выше траектории общего положения, то наблюдаемые при этом векторы \vec{n}_α должны принадлежать плоскости $\Gamma(\mathbf{B})$.

Таким образом, наблюдение электропроводности в металлах со сложной ферми-поверхностью в сильных магнитных полях позволяет выявить:

- 1) целочисленные направления \vec{n}_α ,
- 2) описанные выше зоны устойчивости с соответствующими им целочисленными плоскостями $\Gamma(\mathbf{B}_0)$.

Сформулированные физические следствия получены из математических результатов, представленных в [5-8]³⁾ (см. также [9, 10]). Приведем здесь эти результаты.

Используя отправную точку $\mathbf{p}(0)$ на открытой траектории, пределы

$$\vec{n}_\pm = \lim_{t \rightarrow \pm\infty} [\mathbf{p}(t) - \mathbf{p}(0)] / |\mathbf{p}(t) - \mathbf{p}(0)|, \quad (3)$$

если они существуют, будем называть выходящим и входящим асимптотическими направлениями, соответственно.

Далее, если $\vec{n}_+ = -\vec{n}_- = \vec{n}$, скажем, что открытая траектория имеет среднее направление. Если же, вдобавок, траектория лежит в полосе конечной ширины в плоскости (2) (с необходимостью параллельной \vec{n}), скажем, что у нее есть сильное среднее направление.

При описании следствий из топологических теорем, сформулированных главным образом в [6], [8], будем, для простоты, полагать, что на рассматриваемых энергетических уровнях $\nabla\epsilon(\mathbf{p})$ не обращается в нуль (то есть исключим из рассмотрения те значения энергии, при которых происходит перестройка изоэнергетического уровня), а также, что на каждой особой траектории лежит единственная особая точка (это выполняется для полей общего положения).

Имеются две возможности:

- 1) в очень специальных случаях может быть так, что на одном энергетическом уровне существуют открытые траектории, не имеющие среднего направления (см. [10]). В этом случае на всех других энергетических уровнях все траектории замкнуты. Эта ситуация не дает вклада в проводимость, как отвечающая нулевому фазовому объему;

- 2) в случае общего положения (то есть если не имеет места (1)) для полей иррационального направления открытые траектории, если они есть, существуют на энергетических уровнях в некотором связанном энергетическом интервале $\epsilon_1 < \epsilon < \epsilon_2$, и все имеют сильное среднее направление, даваемое пересечением плоскости $\Pi(\mathbf{B})$, перпендикулярной магнитному полю, некоторой

²⁾Любая двумерная замкнутая ориентируемая поверхность топологически эквивалентна двумерной сфере с "ручками". Род поверхности g совпадает с количеством ручек.

³⁾В [5] была поставлена топологическая проблема, в [7] уточняются некоторые вопросы, присутствующие в [5].

локально устойчивой целочисленной плоскостью $\Gamma(\mathbf{B}_0)$. На уровнях, лежащих вне этого интервала, незамкнутых траекторий нет. Если уровень Ферми попадает в указанный интервал, то экспериментально наблюдается вклад в проводимость таких траекторий с замечательными топологическими свойствами.

В более общем случае, то есть не требуя иррациональности направления \mathbf{B} , утверждение состоит в том, что любая открытая траектория лежит в зоне Бриллюэна $\mathcal{B} \equiv T^3$ на двумерном торе M - или N -типа (от англ. membrane и needle). Опишем эти понятия.

При фиксированном направлении магнитного поля удалим из каждого энергетического уровня в \mathcal{B} те его части, которые состоят из несингулярных замкнутых в \mathcal{E} траекторий. Границей полученного многообразия будут являться замкнутые в \mathcal{E} сингулярные орбиты, которые можно заклеить в \mathcal{B} дисками, лежащими в плоскости $\Pi(\mathbf{B})$. Существует нетривиальная топологическая теорема (см. [8]), утверждающая, что полученное многообразие является несвязным объединением непересекающихся двумерных торов в \mathcal{B} ; двумерные торы, лежащие на разных энергетических уровнях, также не пересекают друг друга.

При этом могут появляться 2 типа двумерных торов. Простейший есть "игла" или тор N -типа, ограничивающий область в \mathcal{B} и топологически гомологичный нулю в \mathcal{B} . Погружение такого тора в \mathcal{B} напоминает цилиндр или трубу и может быть непрерывно деформировано в замкнутую кривую в \mathcal{B} . В расширенной зоне \mathcal{E} накрытие такого тора представляет собой бесконечный периодически деформированный ("гофрированный") цилиндр, определяющий некоторый вектор $\vec{\eta}_\alpha$ обратной решетки. Продольные сечения этого цилиндра плоскостью $\Pi(\mathbf{B})$ дают открытые в \mathcal{E} траектории. Ясно, что торы такого типа могут возникать только в том случае, если $\Pi(\mathbf{B})$ содержит векторы обратной решетки, и исчезают при вариациях \mathbf{B} , нарушающих это свойство. На рис.1 показан тривиальный случай, в котором открытые траектории направлены вдоль оси p_x .

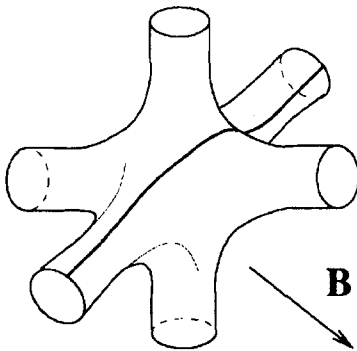


Рис.1. Открытая траектория, соответствующая целочисленному направлению $(1,0,0)$, лежащему в плоскости $\Pi(\mathbf{B})$, перпендикулярной магнитному полю

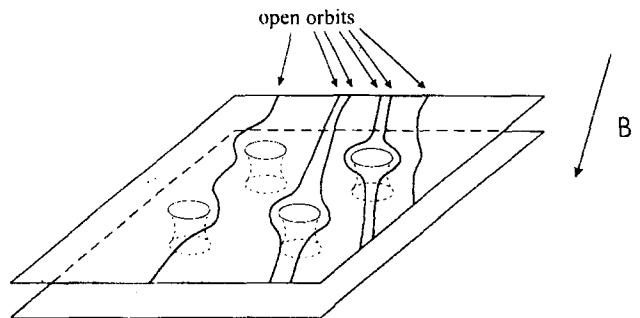


Рис.2. Пара целочисленных плоскостей в сложной поверхности Ферми, полученная после удаления замкнутых траекторий. Открытые траектории даются пересечением данных плоскостей плоскостью, перпендикулярной магнитному полю

Другая возможность – “мембрана” или тор M -типа, который не гомологичен нулю в \mathcal{B} (то есть не ограничивает в \mathcal{B} никакую область). В расширенной зоне Бриллюэна его накрытие представляет собой периодически деформированную целочисленную плоскость (“гофрированную плоскость”), пересечение с которой плоскости $\Pi(\mathcal{B})$ дает описанные выше открытые траектории “общего положения”. Все такие плоскости, отвечающие всем торах M -типа, параллельны в \mathcal{E} , так как они не пересекают друг друга, и их общий гомологический класс и есть описанная ранее целочисленная плоскость $\Gamma(\mathcal{B}_0)$. Замыкание открытой траектории, лежащей на одном из торов M -типа в \mathcal{B} покрывает этот тор, кроме первоначальных отверстий, с числом вращения $\alpha(\mathcal{B})$. Таким образом, такую траекторию можно рассматривать как квазипериодическую, и, следовательно, для изоэнергетических поверхностей общего положения любая открытая траектория является либо периодической, либо квазипериодической. Количество торов M -типа на данном энергетическом уровне четно, и их существенной чертой является то, что они локально устойчивы при вариации всех параметров, включая \mathcal{B} . Рис.2 иллюстрирует специальный случай в “толстой” ферми-поверхности. Если при этом имеются и “гофрированные цилиндры”, то они также лежат в плоскости $\Gamma(\mathcal{B})$. Эти свойства приводят к экспериментальным предсказаниям, сформулированным выше. Рис.3 иллюстрирует наблюдаемую экспериментально ситуацию.

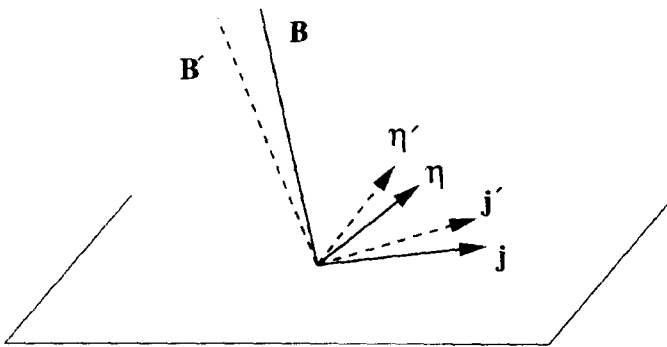


Рис.3. Вдоль направления $\vec{\eta}$, перпендикулярного \mathcal{B} , проводимость обращается в нуль при $\mathcal{B} \rightarrow \infty$. Направление $\vec{\eta}$ перпендикулярно направлению тока \vec{j} , наблюдаемого при $\mathcal{B} \rightarrow \infty$

В заключение авторы благодарят Л.А.Фальковского за консультации в физике твердого тела и Майкла Е. Фишера за помощь и полезные советы.

1. И.М.Лифшиц, В.Г.Песчанский, ЖЭТФ **35**, 1251 (1958).
2. Е.М.Лифшиц, Л.П.Питаевский, *Физическая кинетика*, М.: Наука, 1979, гл.9, §84.
3. Ч.Киттель, *Квантовая теория твердых тел*, М.: Наука, 1967, гл. 11, 12 (С.Kittel, *Quantum Theory of Solids*, John Wiley & Sons, INC. New-York - London, 1963).
4. И.М.Лифшиц, М.Я.Азбель, М.И.Каганов, *Электронная теория металлов*, М.: Наука, 1971.
5. С.П.Новиков, *Успехи мат. наук* **37**, 3 (1982).
6. А.В.Зорич, *Успехи мат. наук* **39**, 235 (1984).
7. С.П.Новиков, Proc. Conf. "Topological Methods in Mathematics", dedicated to the 60th birthday of J.Milnor, June 15-22 (1991) (S.U.N.Y. Stony Brook, 1993).
8. И.А.Дынников, *Мат. заметки* **53**, 57 (1993).
9. Замечание: *Физические приложения* были впервые упомянуты: S.P. Novikov, Proc. Conf. of Geometry, December 15-26, 1993, Tel Aviv University (1995) [in press].
10. С.П.Царев, И.А.Дынников, Частное сообщение (1992-93).